

## Übung zu

## Grundgebiete der Elektrotechnik III

WS 09/10 - Blatt 3

### Aufgabe 14

Betrachtet werden zwei Punktladungen mit entgegengesetztem Vorzeichen  $\pm Q$  auf der  $z$ -Achse im Abstand  $d$  symmetrisch zum Ursprung (Bild 1).

a) Formulieren Sie das elektrostatische Potential  $\varphi_e$  dieser Anordnung in Abhängigkeit von  $r_1$  und  $r_2$ .

b) Ermitteln Sie mithilfe des Kosinussatzes  $c^2 = a^2 + b^2 - 2ab \cdot \cos \gamma$  die Abstände  $r_1$  und  $r_2$  und geben Sie deren Kehrwerte als Funktion von  $1/r$  und  $\theta$  an.

Verwenden Sie für die Ausdrücke  $1/r_1$  und  $1/r_2$  die Näherung

$$\left(1 + \frac{d}{r}\right)^{-1/2} \approx 1 - \frac{1}{2} \cdot \frac{d}{r} \quad (\text{falls } \frac{d}{r} \ll 1).$$

c) Bestimmen Sie das elektrostatische Potential  $\varphi_D$  eines Punktdipols als Grenzwert  $d \rightarrow 0$  bei konstantem Dipolmoment  $p = Q \cdot d$ .

d) Geben Sie die Komponenten der elektrischen Feldstärke  $\vec{E}_D$  durch Gradientenbildung von  $\varphi_D$  in Kugelkoordinaten an. Was fällt bei der Abhängigkeit von  $|\vec{E}_D|$  bzw.  $\varphi_D$  von  $r$  auf?

### Aufgabe 15

Gegeben ist die zylinderförmige Raumladungsverteilung aus Aufgabe 12 d.

a) Formulieren Sie die Poisson- und Laplace-Gleichung in einem geeigneten Koordinatensystem. Welche Terme entfallen aus Symmetriegründen?

b) Bestimmen Sie das elektrostatische Potential  $\varphi_e$  der Raumladungsverteilung im Innen- und Außenraum mit dem Ergebnis aus a) durch zweifache Integration. Bestimmen Sie die Integrationskonstanten so, dass  $\vec{E}$  und  $\varphi_e$  überall stetig sind. Wählen Sie  $\varphi_e = 0$  auf der  $z$ -Achse.

### Aufgabe 16

Gesucht ist das elektrostatische Potential  $\varphi_e$  von zwei parallelen, in  $z$ -Richtung unendlich ausgedehnten Linienladungen:  $q_L$  schneidet die  $x$ -Achse bei  $x = a$ ,  $-q_L$  bei  $x = -a$ . Im Koordinatenursprung soll  $\varphi_e = 0$  gelten.

a) Formulieren Sie  $\varphi_e$  in Abhängigkeit von  $\rho_1$  und  $\rho_2$ , wobei  $\rho_1$  und  $\rho_2$  den jeweiligen Abstand des Aufpunktes von  $q_L$  bzw.  $-q_L$  beschreiben.

HINWEIS: Das Potential einer Linienladung  $q_L$  in der  $z$ -Achse mit dem Bezugspunkt bei  $\rho_0$  lautet  $\varphi_e = \frac{q_L}{2\pi\epsilon} \cdot \ln \frac{\rho}{\rho_0}$ .

$$\text{zugspunkt bei } \rho_0 \text{ lautet } \varphi_e = \frac{q_L}{2\pi\epsilon} \cdot \ln \frac{\rho}{\rho_0}.$$

b) Zeigen Sie, dass für jede Äquipotentialfläche gilt:  $\left(\frac{\rho_2}{\rho_1}\right)^2 = k^2$  mit  $k = \text{const.}$

c) Formulieren Sie die Bedingung aus b) in kartesischen Koordinaten.

d) Bringen Sie die Gleichung aus c) in die Form  $(x - x_0)^2 + y^2 = R^2$  und bestimmen Sie die Größen  $x_0$  und  $R$  in Abhängigkeit von  $k$ .

e) Welche geometrische Form haben die Äquipotentialflächen dieser Anordnung?

### Aufgabe 17

Betrachtet wird ein Winkelkondensator mit dem Öffnungswinkel  $\alpha$  und Kondensatorplatten der Länge  $a$ , der Ausdehnung in  $z$ -Richtung  $b$  und dem Abstand  $\rho_0$  vom Ursprung (Bild 2). Zwischen den Platten liegt die Spannung  $U$  an. Es sollen keine Streueffekte an den Rändern des Kondensators auftreten, d. h. im Innen- und Außenraum gilt  $\vec{E} = E_\phi(\rho, \phi) \cdot \hat{e}_\phi$ .

a) Bestimmen Sie  $\vec{E}$  und das elektrostatische Potential  $\varphi_e$  in Zylinderkoordinaten im Innen- und Außenraum des Kondensators.

b) Geben Sie die elektrische Flussdichte  $\vec{D}$  unmittelbar ober- und unterhalb der unteren Platte an. Wie groß ist die Ladung  $Q$  auf der unteren Platte?

c) Was ergibt sich für die Kapazität  $C$  des Kondensators?

### Aufgabe 18

Gegeben sind zwei parallele, in  $z$ -Richtung unendlich ausgedehnte Zylinderleiter mit dem Radius  $R$  und dem Achsenabstand  $2x_0$ , mit  $x_0 > R$ .

a) Für welche Parameter  $k_1$  und  $k_2$  in Abhängigkeit von  $R$  und  $x_0$  stimmen die Äquipotentialflächen einer Anordnung aus zwei Linienladungen  $\pm q_L$  mit den Oberflächen der Zylinderleiter überein? Verwenden Sie das Ergebnis aus Aufgabe 16.

b) Welche elektrische Spannung  $U_{12}$  besteht zwischen den beiden Äquipotentialflächen in Abhängigkeit von  $q_L$ ? Welche Ladung  $\pm \Delta Q$  pro Länge  $\Delta l$  müssen die Zylinderleiter tragen, damit sich im Außenraum der gleiche Feldverlauf ergibt?

c) Wie groß ist der Kapazitätsbelag  $C'' = \Delta C / \Delta l$  der Anordnung? Verwenden Sie dazu den Ansatz  $\Delta C = \Delta Q / U_{12}$ .

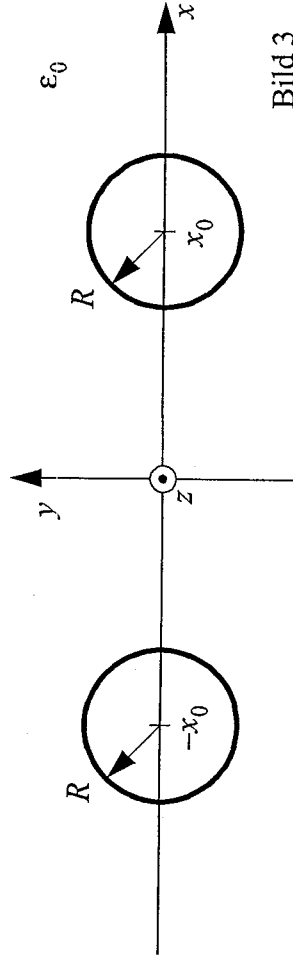


Bild 3

### Aufgabe 19

Eine Leiterbahn einer integrierten Schaltung (Bild 4) mit den Abmessungen  $w=0.4\mu\text{m}$ ,  $d=0.25\mu\text{m}$  verläuft im Abstand  $h=0.25\mu\text{m}$  über einer leitenden Ebene. Das Isoliermaterial zwischen Leiterbahn und Ebene ist  $\text{SiO}_2$  mit  $\epsilon_r \approx 4$ .

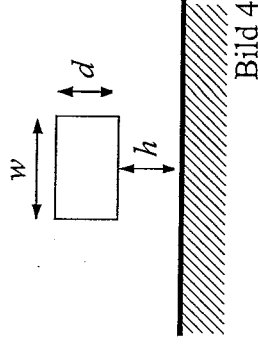


Bild 4

a) Bestimmen Sie den Kapazitätsbelag  $C'$  der Anordnung näherungsweise, indem Sie die Bodenfläche und die Seitenflächen des Leiters als Elektroden von Platten- bzw. Winkelkondensatoren zur Ebene betrachten.

Alternativ kann  $C'$  durch eine andere Näherung berechnet werden (Bild 5).

b) Bestimmen Sie mit dem Ergebnis aus Aufgabe 18c den Kapazitätsbelag eines Zylinders mit dem Durchmesser  $d$  im Abstand  $h$  über einer Ebene.

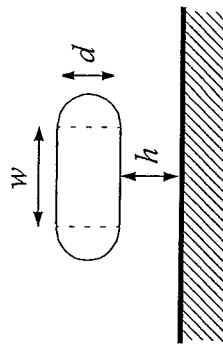


Bild 5

c) Berechnen Sie  $C'$ , indem Sie die Leiterbahn als Kombination einer plattenförmigen und einer zylinderförmigen Elektrode betrachten.

### Aufgabe 20 (Zusatz)

Die Elektroden eines luftgefüllten Plattenkondensators mit der Fläche  $A$  im Abstand  $d$  tragen die Ladung  $\pm Q = \text{const}$ . Streueffekte des elektrischen Feldes sind zu vernachlässigen.

a) Wie groß ist die im Kondensator gespeicherte elektrostatische Energie?

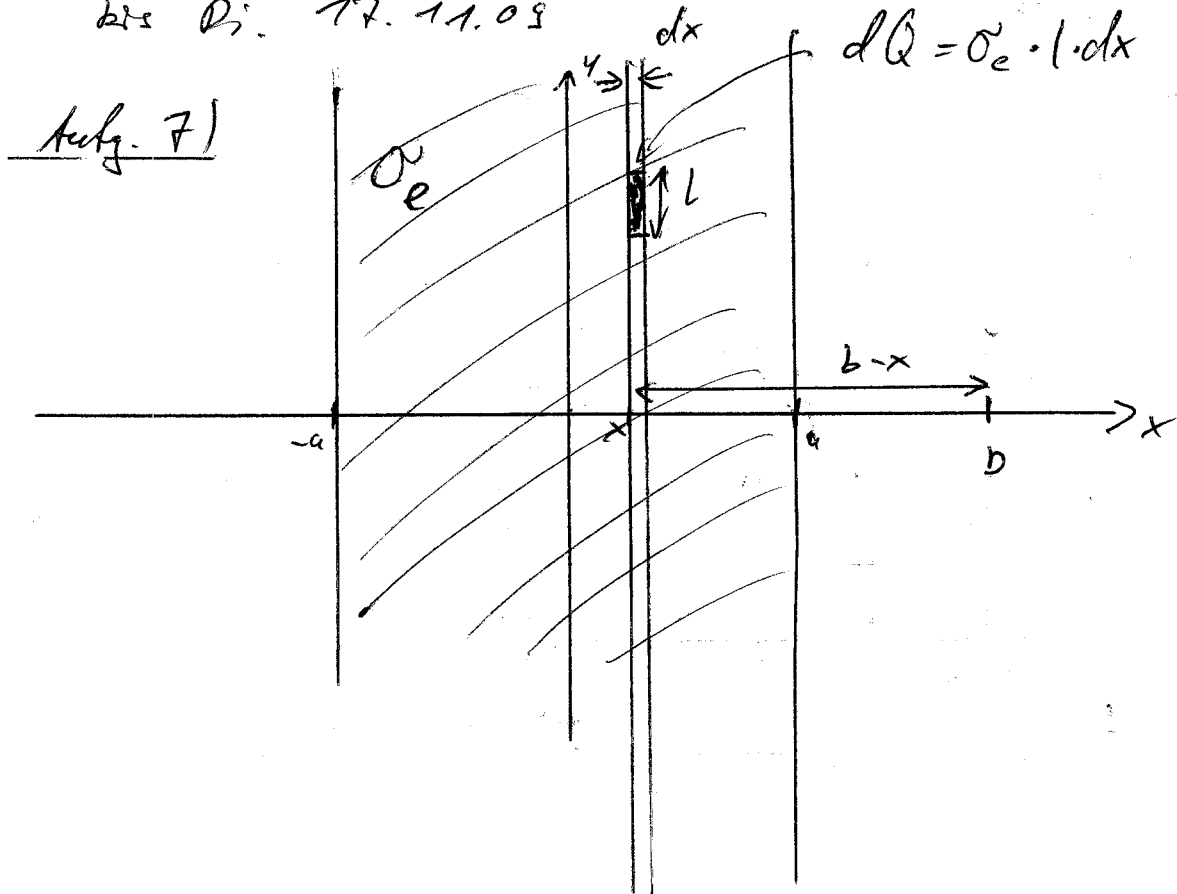
Bestimmen Sie die Kraft  $F$  zwischen den Platten mit der Methode der virtuellen Verschiebung.

Morgen (Mittwoch): Zusatzveranstaltung  
 „Werkzeuge der Mathematik“ in ob

~~Aula 1~~ diesmal im Eph. ~~(17:30 Uhr)~~

Neue Hausaufgabe: Aufg. 13

bis Di. 17. 11. 09



$$dQ = \sigma_e \cdot l \cdot dx \stackrel{!}{=} dq_l \cdot l$$

$$\rightarrow dq_l = \sigma_e \cdot dx$$

b.) aus Vorlesung:

$$\vec{E} = \frac{q_l}{2\pi\epsilon_0} \cdot \frac{1}{r} \cdot \vec{e}_r$$

gilt für eine Linienladung in der  
 z-Achse

Ersetze  $\rho$  durch  $b-x$   
 "  $\vec{e}_y$  durch  $\vec{e}_x$   
 "  $q_L$  durch  $dq_L$   
 "  $\vec{E}$  durch  $d\vec{E}$

$$d\vec{E} = \frac{dq_L}{2\pi\epsilon_0} \cdot \frac{1}{b-x} \cdot \vec{e}_x \text{ im Aufpunkt } A(b, 0, 0)$$

~~...~~

$$\begin{aligned}
 \underline{c_1)} \quad \vec{E}(b, 0, 0) &= \int_{x=-a}^a d\vec{E} \cdot \vec{e}_x \\
 &= \frac{\sigma_e}{2\pi\epsilon_0} \cdot \int_{x=-a}^a \frac{-dx}{x-b} \cdot \vec{e}_x \\
 &= \frac{\sigma_e}{2\pi\epsilon_0} \cdot \left[ -\ln(|x-b|) \right]_{x=-a}^{x=a} \cdot \vec{e}_x \\
 &= \frac{\sigma_e}{2\pi\epsilon_0} \cdot \ln\left(\left|\frac{-a-b}{a-b}\right|\right) \cdot \vec{e}_x \\
 \stackrel{b>a}{=} &= \frac{\sigma_e}{2\pi\epsilon_0} \cdot \ln\left(\frac{a+b}{b-a}\right) \cdot \vec{e}_x
 \end{aligned}$$

d<sub>1</sub>) Fernfeld:  $b \gg a \Rightarrow \frac{a}{b} \ll 1$

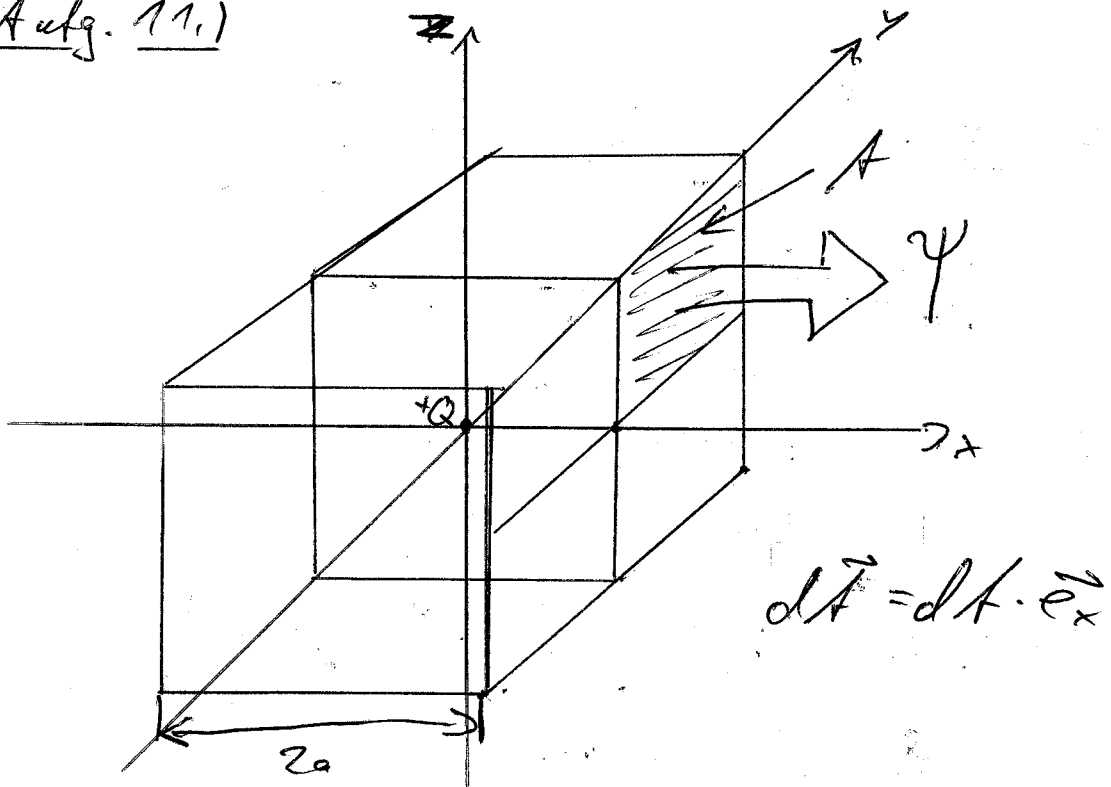
$$\vec{E}(b, 0, 0) = \frac{\sigma_e}{2\pi\epsilon_0} \ln\left(\frac{1+a/b}{1-a/b}\right) \cdot \vec{e}_x$$

Näherung:  $\ln(1+x) \approx x$  für  $|x| \ll 1$

$$\begin{aligned}
 \vec{E}(b, 0, 0) &\approx \frac{\sigma_e}{2\pi\epsilon_0} \left[ \frac{a}{b} - \left(-\frac{a}{b}\right) \right] \cdot \vec{e}_x \\
 &= \frac{\sigma_e \cdot 2a}{2\pi\epsilon_0} \cdot \frac{1}{b} \cdot \vec{e}_x \\
 &\stackrel{!}{=} \frac{q_L}{2\pi\epsilon_0} \cdot \frac{1}{b} \cdot \vec{e}_x
 \end{aligned}$$

Also  $q_L = \underbrace{2a}_{\text{Breite des Streifens}} \cdot 0 \cdot e$

Aufg. 11.1)



a.)  $\psi = \iint_A \vec{D} \cdot d\vec{A}$

Wegen der Form der Fläche  $A$  ist die Berechnung von  $\psi$  in kartesischen Koordinaten am einfachsten:

$$d\vec{A} = dy \cdot dz \cdot \vec{e}_x$$

$$\vec{D}(\vec{r}) = \frac{Q}{4\pi} \cdot \frac{\vec{r}}{r^3} = \frac{Q}{4\pi} \cdot \frac{x \cdot \vec{e}_x + y \cdot \vec{e}_y + z \cdot \vec{e}_z}{\sqrt{x^2 + y^2 + z^2}^3}$$

Grenzen:  $0 \leq y \leq a, 0 \leq z \leq a$

$$\cancel{d\psi} \quad d\psi = \vec{D} \cdot d\vec{A} = \underbrace{\vec{D} \cdot \vec{e}_x}_{D_x(x=a, y, z)} \cdot dy \cdot dz$$

Bsp 10.11

$$\psi = \frac{Q}{4\pi} \cdot \int_{y=0}^a \int_{z=0}^a \frac{a}{\sqrt{a^2 + y^2 + z^2}} \cdot dy \cdot dz$$

Hinweis 2: Ersetze  $x$  durch  $z$

Ersetze  $\mathbb{B}^2$  durch  $(a^2 + y^2)$

$$\psi = \frac{Q}{4\pi} \cdot \int_{y=0}^a a \left[ \frac{z}{(a^2 + y^2) \sqrt{a^2 + y^2 + z^2}} \right]_{z=0}^{z=a} \cdot dy$$

$$\psi = \frac{Q \cdot a^2}{4\pi} \cdot \int_{y=0}^a \frac{1}{(a^2 + y^2) \sqrt{2a^2 + y^2}} \cdot dy$$

Hinweis 3: Ersetze  $x$  durch  $y$

Ersetze  $\mathbb{B}^2$  durch  $a^2$

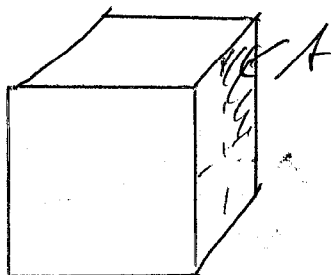
$$\psi = \frac{Q \cdot a^2}{4\pi} \cdot \frac{1}{2a^2} \left[ \arctan \left( \frac{y \cdot \sqrt{y^2 + 2a^2}}{a^2} \right) \right]_{y=0}^{y=a}$$

$$= \frac{Q}{8\pi} \cdot \left[ \underbrace{\arctan \left( \frac{a \cdot \sqrt{3a^2}}{a^2} \right)}_{\arctan(\sqrt{3}) = \frac{\pi}{3}} - \underbrace{\arctan(0)}_{=0} \right]$$

(mit Hinweis 1)

$$\Rightarrow \underline{\underline{\psi = \frac{Q}{24}}}$$

b.)



Wegen der Kugel-symmetrie von  $\vec{D}(\vec{r})$  wird jede der vier Teilflächen bei jeder der 6 Würfelseiten

von gleichem Fluss  $\psi$  durchsetzt:

$$\psi_i = \frac{Q}{24} \quad \text{für } i = 1 \dots 24$$

$$\Rightarrow \psi_{\text{ges}} = \sum_{i=1}^{24} \psi_i = \underline{\underline{Q}}$$

Aufg. 12.)

a) gegeben: kugelförmige, homogene  
Raumladungverteilung  $\rho_e$  mit  
dem Radius  $a$ .

Gesucht:  $\vec{D}(\vec{r})$  bzw.  $\vec{E}(\vec{r})$

für  $|\vec{r}| > a$

an jedem Ort  $(\vec{r})$ : 3 skalare Unbekannte

$$\text{Ansatz: } \oint_A \vec{D} \cdot d\vec{A} = \iiint_V \rho_e \cdot dV$$

$A$  berandet  $V$

→ eine skalare Gleichung

⇒ Es sind zusätzliche Symmetrie-Überlegungen erforderlich

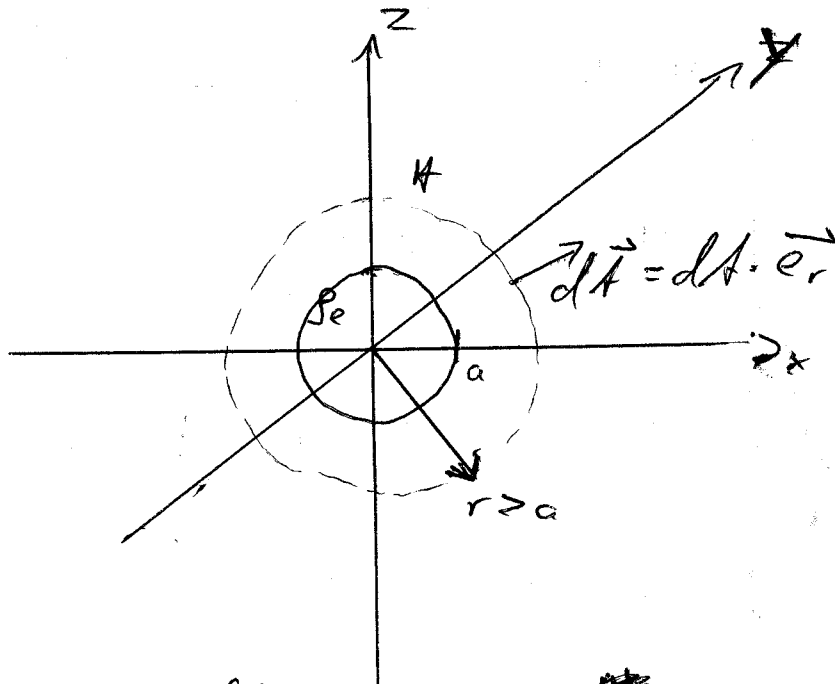
$\rho_e(\vec{r})$  ist kugelsymmetrisch ⇒  $\rho_e(r)$  bzw.  $\rho_e = \text{const.}$

⇒  $\vec{D}(\vec{r})$  ist auch kugelsymmetrisch

$$\vec{D}(\vec{r}) = D_r(r, \theta, \phi) \cdot \vec{e}_r \\ + D_\theta(r, \theta, \phi) \cdot \vec{e}_\theta \\ + D_\phi(r, \theta, \phi) \cdot \vec{e}_\phi$$

$$\vec{D}(\vec{r}) = D_r(r) \cdot \vec{e}_r$$

eine skalare Unbekannte am Ort  $(\vec{r})$



$$\oint_{\mathcal{A}} \vec{D} \cdot d\vec{A} = \oint_{\mathcal{A}} D_r(r) \cdot dA = \cancel{\int_{\mathcal{A}} D_r(r) \cdot dA} D_r(r) \oint_{\mathcal{A}} dA$$

$$\oint_{\mathcal{A}} \vec{D} \cdot d\vec{A} = Q_{\text{encl}} = \frac{4}{3} \pi a^3 \cdot \rho_e$$

$$= D_r(r) \cdot \oint_{\mathcal{A}} dA = D_r(r) \cdot 4\pi r^2$$

$$\rightarrow D_r(r) = \frac{a^3 \cdot \rho_e}{3 r^2}$$

$$\vec{E}(\vec{r}) = \frac{1}{\epsilon_0} \cdot D_r(r) \cdot \vec{e}_r = \frac{a^3 \cdot \rho_e}{3 \epsilon_0 \cdot r^2} \cdot \vec{e}_r$$

für  $|\vec{r}| > a$

jetzt Aufg. 11 mit Gauß'schem Satz der Elektrostatik.

$$\psi_{\text{ges}} = \oint_{\text{4 Würfel}} \vec{D} \cdot d\vec{A} = Q_{\text{ext}} = Q$$

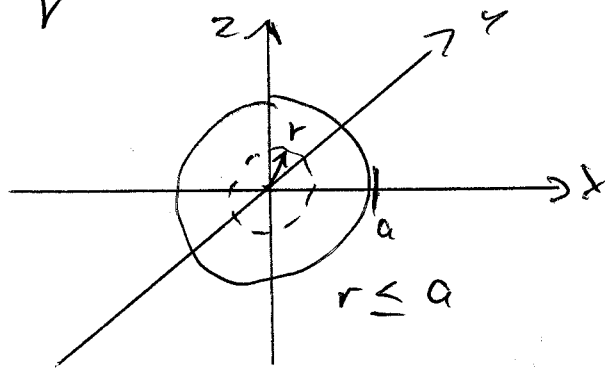
$$= |\vec{D}| \cdot dA \cdot \cos(\alpha)$$

$$\psi_{\text{ges}} = 24 \cdot \psi_A \rightarrow \psi_A = \frac{\psi_{\text{ges}}}{24}$$

12b.) Letzt: Feld der Kugel für  $|\vec{r}| \leq a$

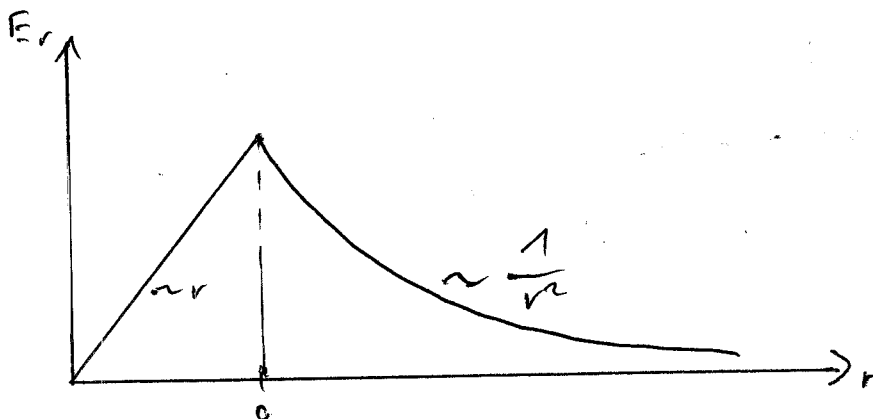
$$\oint_{\text{K}} \vec{D} \cdot d\vec{A} = D_r(r) \cdot 4\pi r^2$$

$$= \iiint_V \rho_e \cdot dV = \rho_e \cdot \frac{4}{3} \pi r^3$$

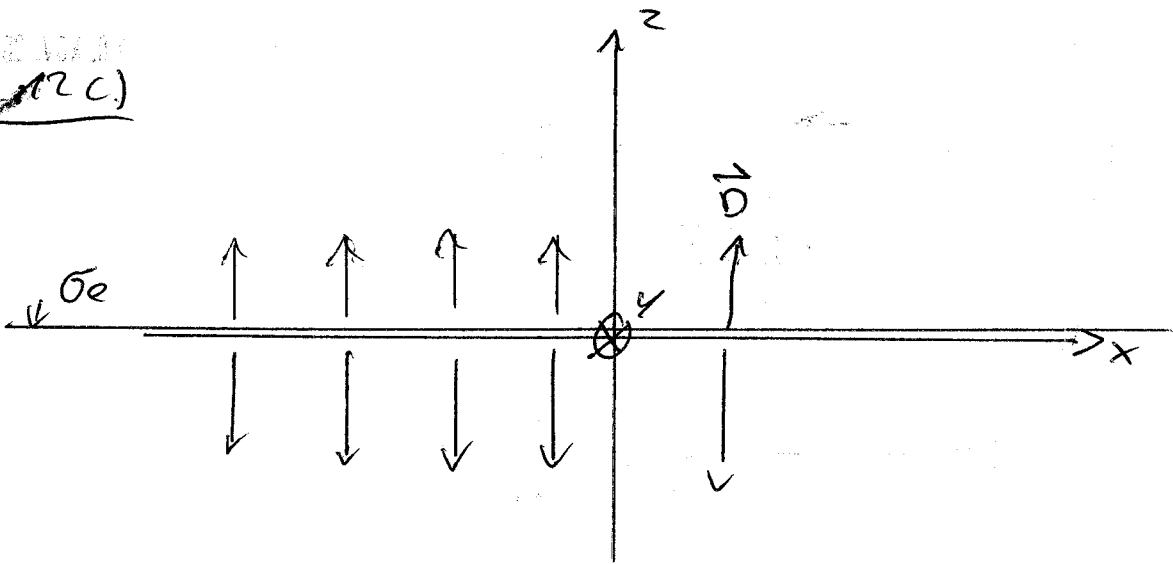


$$\rightarrow D_r(r) = \frac{r \cdot \rho_e}{3}$$

$$\Rightarrow \vec{E}(\vec{r}) = \frac{r \cdot \rho_e}{3 \epsilon_0} \cdot \vec{e}_r$$



BRUNNEN  
12C



Die Ladungsverteilung und damit auch die elektrische Ladungsdichte  $\vec{D}$  sind invariant bzgl. einer Verschiebung in  $x$ - oder  $y$ -Richtung.

$$\Rightarrow \vec{D}(\vec{r}) \neq f(x, y)$$

auch invariant bezgl. einer Rotation um die  $z$ -Achse (oder um eine zur  $z$ -Achse parallele Achse)

$$\rightarrow D_x = 0, \quad D_y = 0$$

$$\Rightarrow \vec{D}(\vec{r}) = D_z(z) \cdot \vec{e}_z$$

Die Ladungsverteilung ist symmetrisch zur  $x$ - $y$ -Ebene

$$\rightarrow D_z(-z) = -D_z(z)$$

(ungerade Funktion)